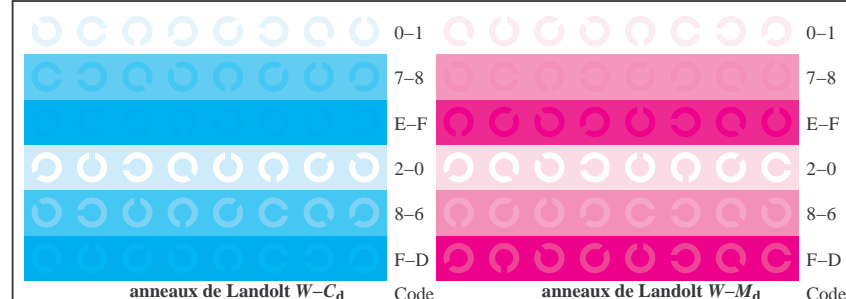


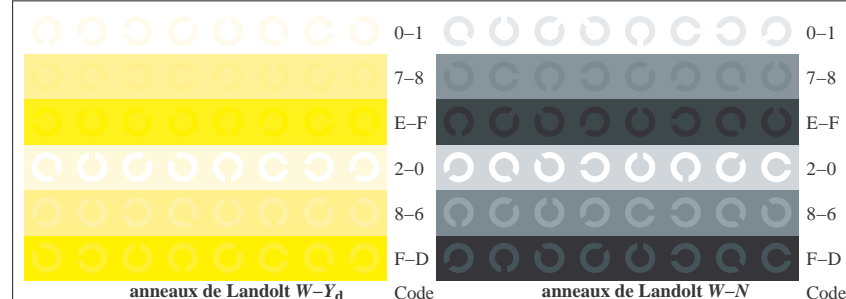
TF981-1, Fig. B4Wdd: 16 paliers équidistants $W-C_d$; $W-M_d$; $W-Y_d$; $W-N$; $rgb/cmy0 \rightarrow rgb_{dd}$ setrgbcolor

+-.:	Q	O	O	Q	C	lmno	C	O	C	O	O	pqrs	O	O	O	O	tuw	O	O	O			
xyz;	O	O	O	O	O	hijk	O	O	O	O	O	lmno	O	O	O	O	pqr	O	O	O			
tuvw	O	O	O	O	O	defg	O	O	O	O	O	hijk	O	O	O	O	lmno	O	O	O			
pqrs	O	O	O	O	O	!abc	O	O	O	O	O	+-.	O	O	O	O	hijk	O	O	O			
lmno	O	O	O	O	O	xyz;	O	O	O	O	O	xyz;	O	O	O	O	+-.	O	O	O			
hijk	C	C	O	O	O	tuvw	O	O	O	O	O	defg	O	O	O	O	defg	O	O	O			
defg	O	O	O	O	O	pqrs	O	O	O	O	O	!abc	O	O	O	O	!abc	O	O	O			
!abc	O	O	O	O	O	10	N	C_d	M_d	Y_d	Z	6	N	C_d	M_d	Y_d	Z	4	N	C_d	M_d	Y_d	Z

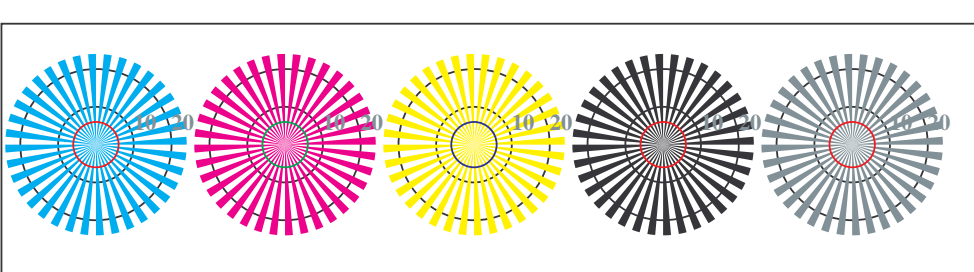
TF981-3, Fig. B5Wdd: code et anneau de Landolt N ; C_d ; M_d ; Y_d ; Z ; PS opérateur: $rgb \rightarrow rgb_{dd}$ setrgbcolor



TF981-5, Fig. B6Wdd: anneaux de Landolt $W-C_d$; $W-M_d$; PS opérateur: $rgb \rightarrow rgb_{dd}$ setrgbcolor

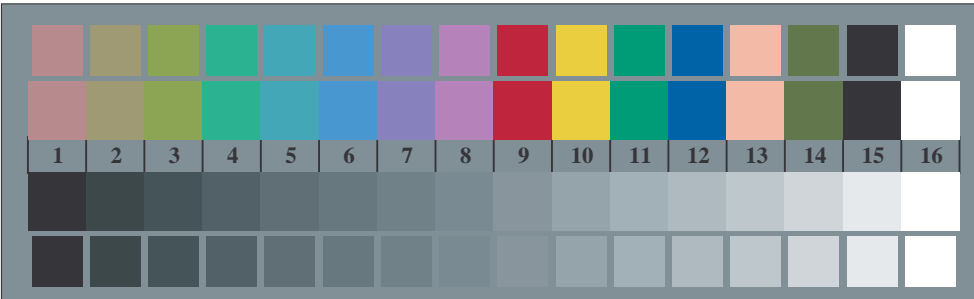


TF981-7, Fig. B7Wdd: anneaux de Landolt $W-Y_d$; $W-N$; PS opérateur: $rgb \rightarrow rgb_{dd}$ setrgbcolor



étoile Siemens $W-C_d$ étoile Siemens $W-M_d$ étoile Siemens $W-Y_d$ étoile Siemens $W-N$ étoile Siemens $W-Z$

TF980-5, Fig. B2Wdd: étoile de Siemens $W-C_d$; $W-M_d$; $W-Y_d$; $W-N$; PS opérateur: $rgb \rightarrow rgb_{dd}$ setrgbcolor



TF980-7, Fig. B3Wdd: 14 CIE test couleurs et 2 + 16 paliers de gris (sf); PS opérateur: $rgb/cmy0 \rightarrow rgb_{dd}$ setrgbcolor